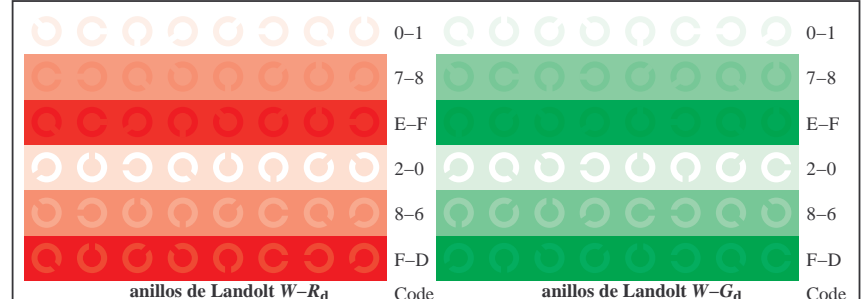


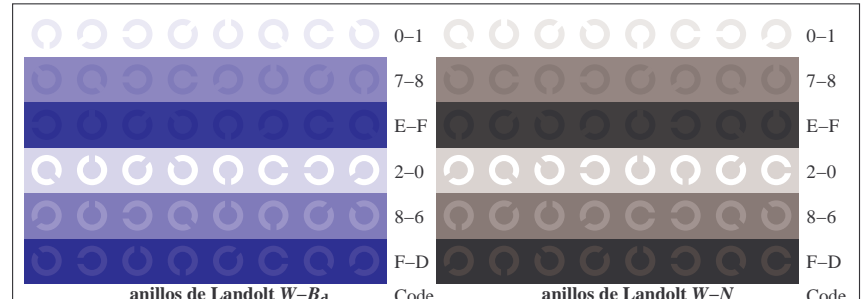
TS881-1, Fig. D4Wd: 16 equidistant pasos $W-R_d$; $W-G_d$; $W-B_d$; $W-N$; $rgb/cmy0 \rightarrow rgb_d$ setrgbcolor

+-.:	Q O C Q C	lmno	C O C O C	pqrs	O O O O O	tuvw	O O O O O
xyz;	O O C O C	hijk	O C O C O	lmno	O O O O O	pqrs	O O O O O
tuvw	O O C O C	defg	O O C O C	hijk	O O O O O	lmno	O O O O O
pqrs	O O C O C	!abc	O O C O C	+-.:	O O O O O	hijk	O O O O O
lmno	O O C O C	+-.:	O O C O C	xyz;	O O O O O	+-.:	O O O O O
hijk	C O C O C	tuvw	O O C O C	defg	O O C O C	!abc	O O C O C
defg	O O C O C	pqrs	O O C O C	6	N R_d G_d B_d Z	xyz;	O O C O C
!abc	O O C O C	10	N R_d G_d B_d Z	8	N R_d G_d B_d Z	defg	O O C O C
							4 N R_d G_d B_d Z

TS881-3, Fig. D5Wd: código y Landolt anillos N ; R_d ; G_d ; B_d ; Z ; PS operator: $rgb \rightarrow rgb_d$ setrgbcolor

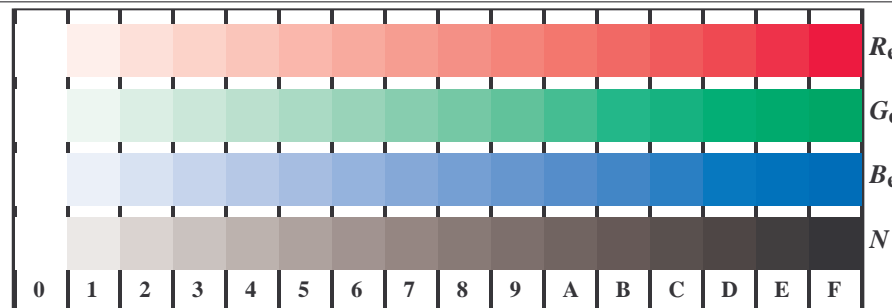


TS880-5, Fig. D2Wd: rejillas radial $W-R_d$; $W-G_d$; $W-B_d$; $W-N$; PS operator: $rgb \rightarrow rgb_d$ setrgbcolor



TS881-5, Fig. D6Wd: anillos de Landolt $W-R_d$; $W-G_d$; PS operator: $rgb \rightarrow rgb_d$ setrgbcolor

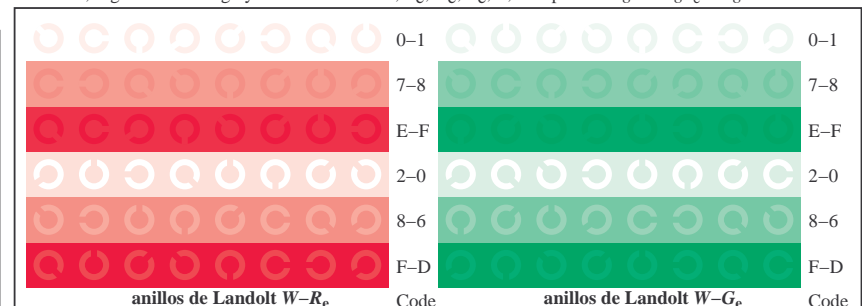
TS880-7, Fig. D3Wd: CIE 14 colores del test y 2 + 16 pasos de gris (sf); PS operator: $rgb/cmy0 \rightarrow rgb_d$ setrgbcolor



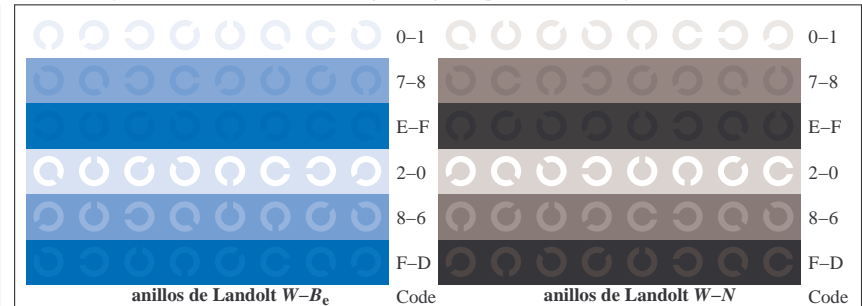
TS881-1, Fig. D4We: 16 equidistant pasos $W-R_e; W-G_e; W-B_e; W-N$; $rgb/cmy0 \rightarrow rgb_c$ setrgbcolor

+-.:					lmno				pqrs					tuvw			
xyz;					hijk				lmno					pqrz			
tuvw					defg				hijk					lmno			
pqrs					!abc				+-.:					hijk			
lmno					xyz;				xyz;					+-.:			
hijk					tuvw				defg					defg			
defg					pqrs				!abc					6			
!abc					10				N					R_e G_e B_e Z			
									8					N			

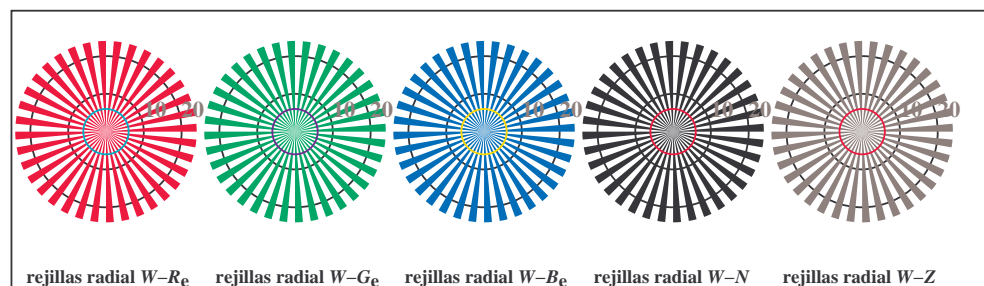
TS881-3, Fig. D5We: codigo y Landolt anillos $N; R_e; G_e; B_e; Z$; PS operator: $rgb \rightarrow rgb_c$ setrgbcolor



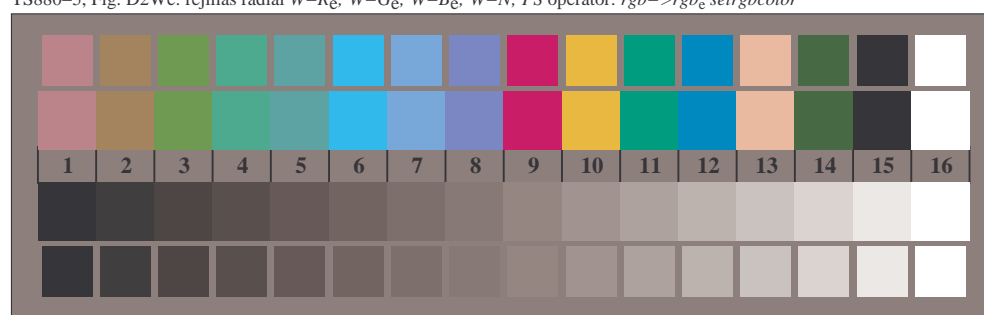
TS881-5, Fig. D6We: anillos de Landolt $W-R_e; W-G_e$; PS operator: $rgb \rightarrow rgb_c$ setrgbcolor



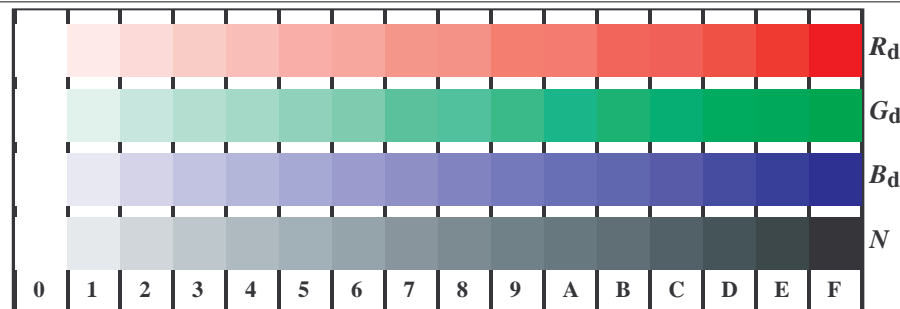
TS881-7, Fig. D7We: anillos de Landolt $W-B_e; W-N$; PS operator: $rgb \rightarrow rgb_c$ setrgbcolor



TS880-5, Fig. D2We: rejillas radial $W-R_e; W-G_e; W-B_e; W-N$; PS operator: $rgb \rightarrow rgb_c$ setrgbcolor



TS880-7, Fig. D3We: CIE 14 colores del test y 16 pasos de gris (sf); PS operator: $rgb/cmy0 \rightarrow rgb_c$ setrgbcolor



TS881-1, Fig. D4Wdd: 16 equidistant pasos W-R_d; W-G_d; W-B_d; W-N; $rgb/cmy0 \rightarrow rgb_{dd}$ setrgbcolor

+:-.	Q O C Q C	lmno	C O C O C	pqrs	O O O O O	tuvw	O O O O O
xyz;	O O C O C	hijk	O C O C O	lmno	O O C O C	pqrs	O O C O C
tuvw	O O C O C	defg	O O C O C	hijk	O O C O C	lmno	O O C O C
pqrs	O O C O C	!abc	O O C O C	+:-.	O O C O C	hijk	O O C O C
lmno	O O C O C	+:-.	O O C O C	xyz;	O O C O C	+:-.	O O C O C
hijk	C O C O C	tuvw	O O C O C	tuvw	O O C O C	!abc	O O C O C
defg	O O C O C	pqrs	O O C O C	defg	O O C O C	xyz;	O O C O C
!abc	O O C O C	!abc	O O C O C	6	N R _d G _d B _d Z	defg	O O C O C
10	N R _d G _d B _d Z	8	N R _d G _d B _d Z				N R _d G _d B _d Z

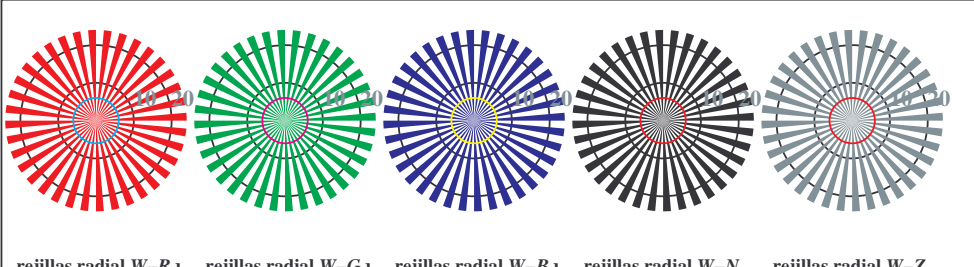
TS881-3, Fig. D5Wdd: código y Landolt anillos N; R_d; G_d; B_d; Z; PS operator: $rgb \rightarrow rgb_{dd}$ setrgbcolor

anillos de Landolt W-R _d	0-1	anillos de Landolt W-G _d	0-1
	7-8		7-8
	E-F		E-F
	2-0		2-0
	8-6		8-6
	F-D		F-D
Code		Code	

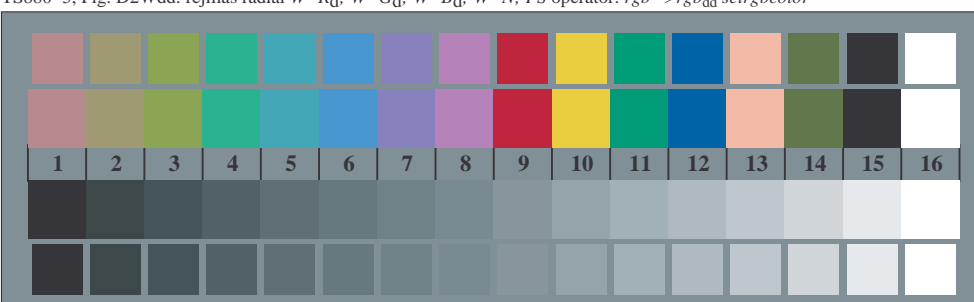
TS881-5, Fig. D6Wdd: anillos de Landolt W-R_d; W-G_d; PS operator: $rgb \rightarrow rgb_{dd}$ setrgbcolor

anillos de Landolt W-B _d	0-1	anillos de Landolt W-N	0-1
	7-8		7-8
	E-F		E-F
	2-0		2-0
	8-6		8-6
	F-D		F-D
Code		Code	

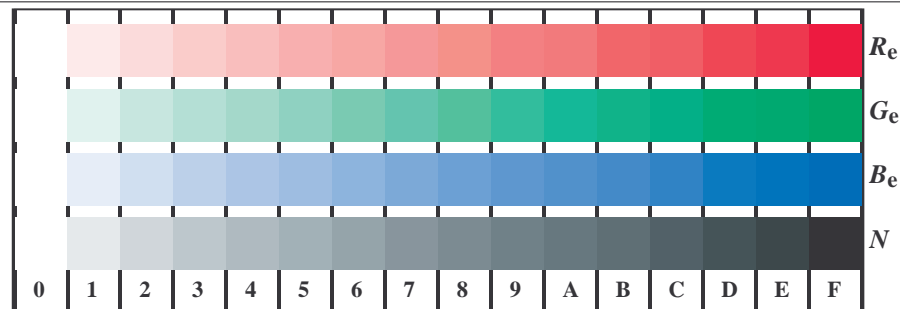
TS881-7, Fig. D7Wdd: anillos de Landolt W-B_d; W-N; PS operator: $rgb \rightarrow rgb_{dd}$ setrgbcolor



TS880-5, Fig. D2Wdd: rejillas radial W-R_d; W-G_d; W-B_d; W-N; PS operator: $rgb \rightarrow rgb_{dd}$ setrgbcolor



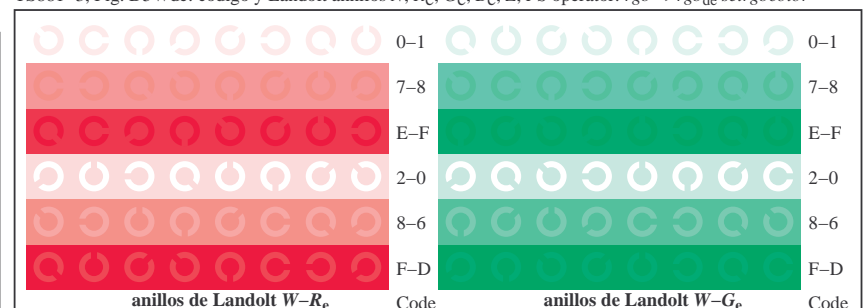
TS880-7, Fig. D3Wdd: CIE 14 colores del test y 2 + 16 pasos de gris (sf); PS operator: $rgb/cmy0 \rightarrow rgb_{dd}$ setrgbcolor



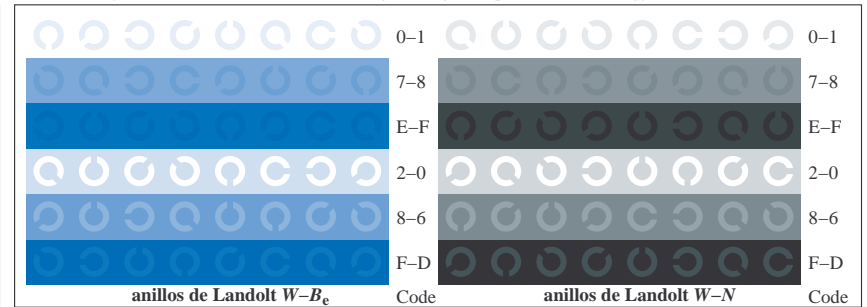
TS881-1, Fig. D4Wde: 16 equidistant pasos $W-R_e; W-G_e; W-B_e; W-N$; $rgb/cmy0 \rightarrow rgb_{de} setrgbcolor$

+-.:	Q	O	Q	C	lmno	C	O	C	O	pqrs	O	O	O	O	tuvw	O	O	O
xyz;	O	O	O	C	hijk	O	O	O	O	lmno	O	O	O	O	pqrz	O	O	O
tuvw	O	O	O	C	defg	O	O	O	O	hijk	O	O	O	O	lmno	O	O	O
pqrs	O	O	O	C	!abc	O	O	O	O	+-.:	O	O	O	O	hijk	O	O	O
lmno	O	O	O	C	xyz;	O	O	O	O	xyz;	O	O	O	O	defg	O	O	O
hijk	C	O	O	C	tuvw	O	O	O	O	tuvw	O	O	O	O	!abc	O	O	O
defg	O	O	O	C	pqrs	O	O	O	O	defg	O	O	O	O	6 N R_e G_e B_e Z	O	O	O
!abc	O	O	O	C	10 N R_e G_e B_e Z	O	O	O	O	!abc	O	O	O	O	8 N R_e G_e B_e Z	O	O	O

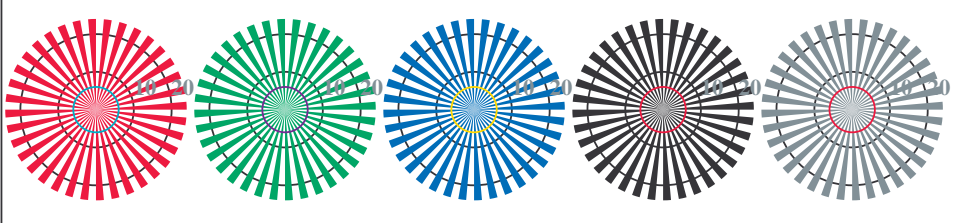
TS881-3, Fig. D5Wde: código y Landolt anillos $N; R_e; G_e; B_e; Z$; PS operator: $rgb \rightarrow rgb_{de} setrgbcolor$



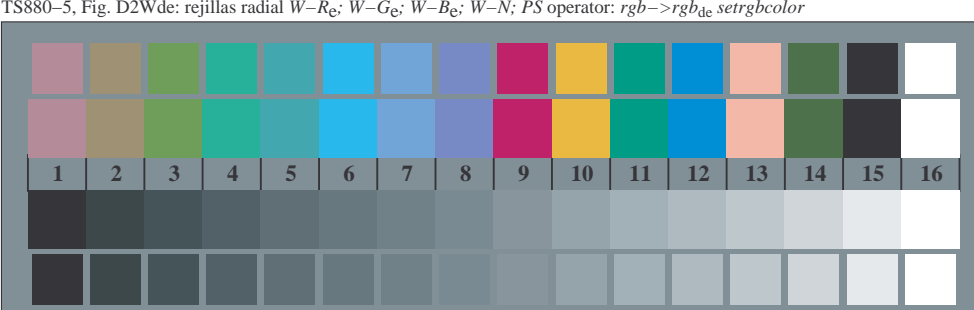
TS881-5, Fig. D6Wde: anillos de Landolt $W-R_e; W-G_e$; PS operator: $rgb \rightarrow rgb_{de} setrgbcolor$



TS881-7, Fig. D7Wde: anillos de Landolt $W-B_e; W-N$; PS operator: $rgb \rightarrow rgb_{de} setrgbcolor$



TS880-5, Fig. D2Wde: rejillas radial $W-R_e; W-G_e; W-B_e; W-N$; PS operator: $rgb \rightarrow rgb_{de} setrgbcolor$



TS880-7, Fig. D3Wde: CIE 14 colores del test y 2 + 16 pasos de gris (sf); PS operator: $rgb/cmy0 \rightarrow rgb_{de} setrgbcolor$